

海藻多糖抑制白细胞呼吸爆发作用研究*

李妍¹⁾ 田晓华²⁾ 丛建波 滕霞 孙存普 顾景范²⁾

(军事医学科学院放射医学研究所, 国家生物医学分析中心自由基与顺磁实验室, 北京 100850)

摘要 采用 ESR、自旋捕集及自旋氧探针技术, 研究了海藻硫酸多糖 (SPS) 对豆蔻酰佛波醇乙酯 (PMA) 刺激的多形核白细胞 (PMN) 呼吸爆发的影响。结果表明, SPS 能显著抑制 PMN 呼吸爆发, 10 g/L 和 5 g/L SPS 几乎完全清除 PMN 呼吸爆发产生的自由基, 1 g/L SPS 可清除 53.2%; 10 g/L SPS 对 PMN 的耗氧量也有较明显的抑制作用。

关键词 海藻硫酸多糖, 多形核白细胞, 呼吸爆发, 超氧自由基 O_2^-

学科分类号 Q691

活性氧自由基涉及多种疾病与损伤, 如缺血-再灌损伤、辐射损伤、动脉硬化、突变、癌症和衰老等。近来研究表明 HIV 感染者处于活性氧导致的慢性氧化应激状态^[1,2], 如血浆脂质过氧化产物水平升高, 中性粒细胞生成自由基增加等。活性氧自由基还能通过激活 NF- κ B 转录因子来诱导 HIV-1 的表达与复制^[3]。吞噬细胞呼吸爆发是机体内自由基的重要来源, 过多的活性氧自由基, 会对吞噬细胞本身及其周围环境的其他细胞、组织及生物大分子造成损伤^[4,5], 与肿瘤及 HIV 疾病的发生、发展密切相关^[6]。

海藻硫酸多糖 (sulfated polysaccharide from seaweed, SPS) 具有增强免疫、抗突变、抗肿瘤及抗HIV 等多种药物作用^[7,8], 但人们对其作用机制了解甚少。我们曾采用 ESR 和自旋捕集技术证实了 SPS 对化学模拟体系产生的自由基有明显清除作用^[9]。本文在此基础上, 采用 PMA 刺激多形核白细胞 (PMN) 呼吸爆发模型, 进一步观察 SPS 对 PMN 呼吸爆发的影响。这些研究可能为探讨 SPS 抗肿瘤和抗 HIV 机制提供一条新途径。

1 材料与方法

1.1 试剂和仪器

二甲基吡咯啉氮氧化物 (5, 5-dimethyl-1-pyrroline N-oxide, DMPO)、豆蔻酰佛波醇乙酯 (phorbol myristate acetate, PMA)、自旋氧探针 (3-氨甲酰-2, 2, 5, 5-四甲基-3-吡咯啉氮氧化物, 3-carbamoyl-2, 2, 5, 5-tetramethyl-3-pyrrolin-1-yloxy, CTPO)、二乙烯三胺乙酸 (diethylenetri-

amin epentaacetic acid, DTPA) 购自 Sigma 公司, 葡聚糖 T70 (Dextran T70) 为 Phamacia 产品, 其他试剂均为国产 AR 级。

海藻多糖由褐藻热水提取, 乙醇沉淀, 经中空纤维柱过滤获得, 相对分子质量小于 10 000。

ESR 波谱测量用德国 Bruker-ESR 300 顺磁共振波谱仪。

1.2 多形核白细胞 (PMN) 分离提取

经抗凝的健康人血 9 ml, 加入 4.5 ml 6% 的葡聚糖 T70, 室温下静置约 1 h, 取含 PMN 的上清液, 1 500 r/min 离心 5 min, 沉淀用少许生理盐水溶解, 加入 3 ml 冷双蒸水悬浮, 准确计时 30 s 振摇, 加 1 ml 0.6 mol/L KCl, 1 500 r/min 离心 5 min, 重复 2~3 次, 直至残余的红细胞洗净, 沉淀加生理盐水配制成约 1×10^8 个/ml 浓度的溶液^[10]。

1.3 PMA 刺激 PMN 呼吸爆发产生的自由基测定

取上述 PMN 5 μ l 与 1 mmol/L DTPA 5 μ l, 3.2 μ mol/L PMA 5 μ l 及 PBS 25 μ l (pH 7.4) 混匀 (实验组加入不同浓度 SPS 5 μ l, PBS 20 μ l), 37 °C 温育 2 min, 加入 0.8 mol/L DMPO 10 μ l 混匀, 立即吸入石英毛细管, 1 min 内于 ESR 波谱仪测自由基信号。测试条件: 功率 10 mW, 调频 25 kHz, 调幅 1 G, 时间常数 10.24 ms, 扫描时间 41.94 s, 中心磁场 3470 G, 扫宽 100 G。

* 国家自然科学基金资助项目 (39470190)。

¹⁾ 军事医学科学院放射医学研究所进修生 (工作单位: 北京军区药检所, 北京 100071)。

²⁾ 军事医学科学院卫生学环境医学研究所, 天津 300050。

收稿日期: 1997-12-05, 修回日期: 1998-04-26

1.4 PMN 耗氧量测定

取上述 PMN 10 μl 与氧探针 CTPO 5 μl, PMA 10 μl 及 PBS (pH 7.4) 25 μl 混匀 (实验组加不同浓度的 SPS 5 μl, PBS 20 μl), 吸入石英毛细管, 计时, 24 ℃恒温, 在 ESR 波谱仪上测定 1 min、3 min、5 min 和 7 min 时 PMN 耗氧量。测试条件: 功率 1 mW, 其余同 1.3。

2 结果

2.1 SPS 对 PMA 刺激 PMN 呼吸爆发产生的 O_2^- 的清除作用

图 1e 是 PMA 刺激 PMN 产生 O_2^- 的典型波谱, 图 1a、b、c、d 是分别加入 10、5、1、0.5 g/L SPS 对体系产生的 O_2^- 清除作用, 以 ESR 波谱的第一峰高值 (mm) 表示信号的相对强度, 用下列公式计算清除率。

$$\text{清除率} = \frac{\text{对照组峰值} - \text{加 SPS 组峰值}}{\text{对照组峰值}} \times 100\%$$

由图 1 可见 SPS 能显著清除该体系产生的 O_2^- , 且呈明显量效关系, 以 10 g/L 清除效果最佳, 几乎完全清除, 5 g/L、1 g/L 与 0.5 g/L SPS 清除 O_2^- 的清除率分别为 96.6%、53.2%、23.4%。



图 1 SPS 对 PMN 呼吸爆发产生的 O_2^- 的清除作用

a: 10 g/L SPS; b: 5 g/L SPS; c: 1 g/L SPS;
d: 0.5 g/L SPS; e: 对照。

2.2 SPS 对 PMN 耗氧量的影响

为了弄清 SPS 是清除 PMN 产生的 O_2^- , 还是通过抑制 PMN 呼吸爆发, 不让其产生 O_2^- , 我们观察了 SPS 对 PMN 耗氧量的影响。在测定耗氧时, 引入自旋氧探针 CTPO, CTPO 中的 4 个甲基质子产生的 ESR 波谱超精细结构的线宽正比于溶液中的氧浓度, 当氧浓度高时, 由于线宽非常宽, 显示

不出超精细分裂结构, PMN 受 PMA 刺激呼吸爆发过程中产生的 O_2^- 消耗了介质中的氧气, 减少了氧对 CTPO 的加宽作用, 使其超精细结构表现出来。

图 2a 是 PMA 刺激 PMN 后, PMN 发生呼吸爆发, 随时间的延续, 耗氧量不断增加, 图 2a 中 A、B、C、D 分别是 ESR 记录的 1 min、3 min、5 min、7 min 时的耗氧情况。

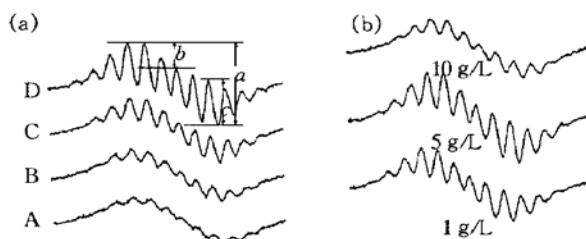


图 2 CTPO 标记的 PMN 呼吸爆发耗氧的 ESR 波谱及 SPS 的影响

为了表示 SPS 对 PMN 耗氧影响的程度, 引用经验参数 K ,

$$K = \frac{b + c}{2a}$$

a、b、c 分别如图 2a 所示, 当溶液中氧浓度高时, CTPO 无超精细分裂结构, $K = 0$, 随环境中氧浓度降低, b、c 增大, K 也随之增大。

图 2b 和图 3 分别是加入 1 g/L、5 g/L、10 g/L SPS ESR 记录的 7 min 时 PMN 的耗氧情况, 可见 10 g/L SPS 对 PMN 的耗氧量有一定抑制作用, 而 1 g/L 和 5 g/L 则没有, 以上为 6 次实验的平均值 ($P < 0.05$)。

图 4 是不加 SPS 与加入 5 g/L 和 10 g/L SPS 后 PMN 耗氧率 K 值随时间变化关系, 从图 4 可见, 10 g/L 的 SPS 对 PMN 耗氧有较明显的抑制作用, 而 5 g/L 没有影响, 以上为 6 次实验的平均值 ($P < 0.01$)。

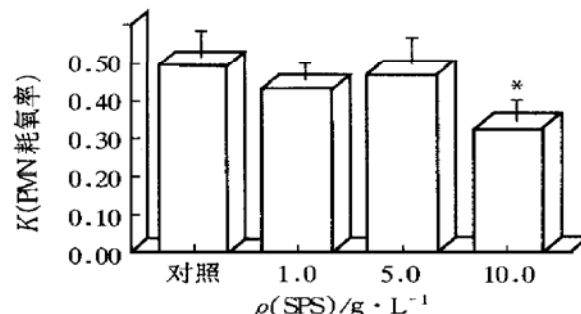


图 3 不同浓度 SPS 对 PMN 呼吸爆发 7 min 时耗氧率的影响

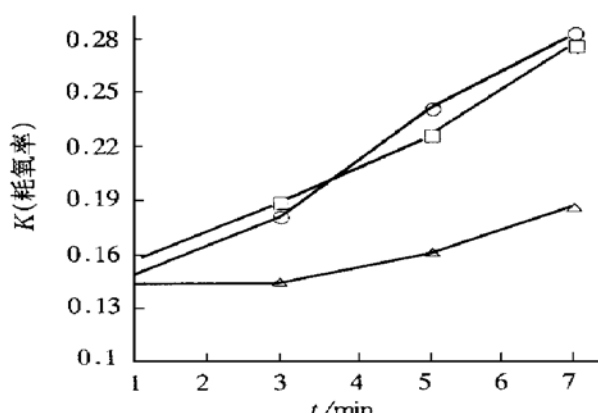


图 4 SPS 对 PMN 呼吸爆发耗氧率动态变化的影响

○——○：对照；□——□：5 g/L SPS；
△——△：10 g/L SPS。

3 讨 论

吞噬细胞呼吸爆发产生活性 O_2^- 是保护机体免受外来致病因子侵袭的重要机制，但同时也对免疫系统本身造成损伤。通过我们上述实验，证明了 SPS 对 PMA 刺激的呼吸爆发产生的 O_2^- 有明显清除作用，是有效的自由基清除剂，同时也说明呼吸爆发产生的活性 O_2^- 是来源于介质中的氧。实验结果还表明：低浓度的 SPS (1 g/L、5 g/L) 对 PMN 呼吸爆发产生的 O_2^- 的作用是直接清除，而高浓度的 SPS (10 g/L) 除直接清除 PMN 呼吸爆发产生的 O_2^- 外，尚能部分抑制 PMN 呼吸爆发，即对 PMN 的活性有抑制作用，阻止 O_2^- 的生成，这可能是 SPS 保护免疫细胞在慢性炎症反应中免受过多的活性 O_2^- 损伤、增强机体免疫力的机理之一。高浓度的 SPS 能够抑制 PMN 耗氧的机制尚不清楚，是否象 SPS 作为电子受体，建立电子通路，从而抑制线粒体电子传递链依赖 NADH 的氧消耗一样，SPS 对 PMN 耗氧的抑制也是通过影响 NADH 酶系统的电子传递来实现，还有待于进一步研究，但 SPS 作为高效抗氧化剂的作用已是不容置疑的了。

参 考 文 献

- Pace G W, Leaf C D. The role of oxidative stress in HIV disease. *Free Radical Biol Med*, 1995, **19** (4): 523~ 528
 - Jarstrand C, Akerlund B. Oxygen radical release by neutrophils of HIV-infected patients. *Chem Biol Interact*, 1994, **91** (2, 3): 141~ 146
 - Schreck R, Rieber P, Baeuerle P A. Reactive oxygen intermediates as apparently widely used messengers in the activation of the NF- κ B transcription factor and HIV-1. *EMBO J*, 1991, **10** (8): 2247~ 2258
 - Tsan M. Phorbol myristate acetate induced neutrophil autoxidity. *J Cell Physiol*, 1980, **105** (2): 327~ 334
 - Birnboim H C. DNA strand breakage in human leukocytes exposed to a tumor promoter, phorbol myristate acetate. *Science*, 1982, **215** (4537): 1247~ 1249
 - Staal F J T, Roederer M, Israelski D M, et al. Intracellular glutathione levels in T cell subsets decrease in HIV-infected individuals. *AIDS Res Hum Retroviruses*, 1992, **8** (2): 305~ 311
 - Itoh H, Noda H, Amano H, et al. Anticancer activity and immunological properties of marine algal polysaccharides, especially fucoidan, prepared from sargassum thunbergii of phaeophyceae. *Anticancer Res*, 1993, **13** (6): 2045~ 2052
 - Beress A, Wassermann O, Bruhn T, et al. A new procedure for the isolation of Anti-HIV compounds (polysaccharides and polyphenols) from the marine alga *fucus vesiculosus*. *J Natural Products*, 1993, **56** (4): 478~ 488
 - 田晓华, 丛建波, 施定基, 等 (Tian X H, Cong J B, Shi D J, et al.). 褐藻硫酸多糖清除活性氧自由基作用及动力学的 ESR 研究. *营养学报 (Acta Nutrimenta Sinica)*, 1997, **19** (1): 32~ 37
 - Merkert M, Andrews P C, Babior B M. Measurement of O_2^- production by human neutrophils. The preparation and assay of NADPH oxidase-containing particles from human neutrophils. In: Lester P ed. *Methods in enzymology*, **12**. New York: Academic Press, 1984. 358~ 365
- Studies on the Inhibitory Effects of Sulfated Polysaccharide from Brown Seaweed on the Respiratory Burst of Polymorphonuclear Neutrophils.** LI Yan¹⁾, TIAN Xiao-Hua²⁾, CONG Jian-Bo, TENG Xia, SUN Cui-Pu, GU Jing-Fan²⁾ (*Institute of Radiation Medicine, Academy of Military Medical Sciences, Free Radical & ESR Laboratory of National Centre of Biomedical Analysis, Beijing 100850, China*; ¹⁾ *Institute of Drug Control of Beijing Military Region, Beijing 100071, China*; ²⁾ *Institute of Hygiene and Environmental Medicine, Academy of Military Medical Sciences, Tianjin 300050, China*).
- Abstract** The influence of sulfated polysaccharide from brown seaweed *Laminaria Japonica* (SPS) on the respiratory burst of polymorphonuclear neutrophils (PMN) induced by phorbol myristate acetate (PMA) was investigated with the techniques of ESR, spin trap and oxygen spin probe. The results showed that SPS inhibited the respiratory burst of PMN significantly. 10 g/L and 5 g/L SPS almost completely scavenged superoxide anion (O_2^-) from the respiratory burst while 10 g/L SPS inhibited the oxygen consumption of PMN markedly, and 1 g/L SPS scavenged 53.2% O_2^- .
- Key words** sulfated polysaccharide from brown seaweed (SPS), polymorphonuclear neutrophils (PMN), respiratory burst, superoxide anion (O_2^-)